

Response of Hybrid Waste Fiber-Self Compacted Reinforced Concrete Slabs Under Static Loading

Dr. Mazin Burhan Al-Deen Abdul Rahman

Engineering College, University of Tikrit/ Tikrit.

Email: mazin_tikrit@yahoo.com

Khaled jamal ahmed

Engineering College, University of Tikrit/ Tikrit.

Email: ce.kja90@gmail.com

Received on: 7/1/2016 & Accepted on: 21/4/2016

ABSTRACT

This work aims at assessing the behavior of self-compacted concrete (SCC) reinforced with hybrid recycled waste fibers (RWFSCC) in two-way slabs under static loading. Waste plastic fibers (PET) and metal cans fibers and hybrid fibers with aspect ratio (12.5) have been used with volumetric percentages (0.1%, 0.25% and 0.4%) for each type of recycled fibers respectively, in addition to the reference mixture (free of fibers) for the purpose of comparison. The current study has been divided into two parts , the first part is focused on studying the effect of recycled fibers on the specified mechanical properties, namely: the compressive strength and the splitting tensile strength of the hardened SCC, The second part included the study of the behavior of concrete slabs under static loading .The results showed a slightly improvement in the compressive strength of mixtures that containing volumetric ratio (0.1%) of waste recycled fibers , also showed that the plastic fibers have improved both the splitting tensile strength ,as the ratio of the recycled fibers has increased, and the bending strength and toughness of the concrete slabs that containing the hybrid recycled fibers ,whereas the increasing of the metal recycled fibers ratio caused to reduce this increasing and to give a negative effect on the structure of SCC .

Keywords: self-compacted concrete, plastic fibers PET, metal cans fibers, hybrid fibers.

تصريف البلاطات الخرسانية ذاتية الرص ثنائية الاتجاه المعززة بالياف النفايات الهجينة تحت الحمل الساكن

الخلاصة

تهدف هذه الدراسة العملية إلى تقييم سلوك البلاطات الخرسانية ذاتية الرص ثنائية الاتجاه المسلحة بالياف النفايات الهجينة المعاد تدويرها (RWFSCC) تحت الأحمال الساكنة ، إذ تم استخدام الياف الفضلات البلاستيكية (PET) والياف العلب المعدنية للمشروعات الغازية والياف هجينية من كل النوعين وبنسبة باعية (aspect ratio) تبلغ (12.5) وبنسب حجمية (V_f) (0.4%, 0.25%, 0.1%) من كل نوع على التوالي، بالإضافة إلى الخليطة المرجعية الحالية من الألياف لغرض المقارنة ، تم تقسيم الدراسة إلى جزئيين ، ركز الجزء الأول منها على دراسة تأثير الألياف المعادة على الخصائص الميكانيكية والتي تشمل (مقاومة الإنضغاط ومقاومة شد الإنبطار) للخرسانة ذاتية الرص المتصلبة ،

وتضمن الجزء الثاني دراسة تصرف البلاطات الخرسانية تحت الأحمال الساكنة . أشارت نتائج الفحوصات الميكانيكية إلى تحسن طفيف في مقاومة الإنضغاط للخلطات الحاوية على نسبة حجمية (0.1%) من الألياف المعادنة وقد حسّنت ألياف البلاستيك من مقاومة الانشطار بزيادة نسبة الألياف المعادنة ، وزادت مقاومة الإنثناء في البلاطات الحاوية على الياف بلاستيكية وهجينه معادنة بينما تتحفظ الزيادة بزيادة نسبة الألياف المعادنة والتي لها تأثير سلبي على بنية الخرسانة ذاتية الرص .

الكلمات الدالة: خرسانة ذاتية الرص ، الياف البلاستيك ، الياف معادنة ، الألياف الهجينه المعادنة .

المقدمة :

تعتبر الخرسانة ذاتية الرص والخرسانة الأعتيادية المتصلبة مادةً هشة ، تمتلك مقاومة شد واطئة ذات فشل قصيف مفاجئ وخطير(Dangerous Sudden Failure) وأن من الصعب فهم طريقة تشكيل ونمو التشققات الدقيقة (Micro cracks) فيها وهي عرضه للكسر بقوى الشد تحت الأحمال الحرکية والاصدمية ولحل هذه المشكله وإطالة عمر الخرسانة الخدمي، طورت الخرسانه ذاتية الرص المسلح بالالياف [1] ، وقد تم في هذا البحث إستخدام الياف معاد تدويرها من نفايات محلية حيث الإهتمام نحو التدوير الفعال لنفايات للبلاستيك المستهلك وغيرها في مختلف القطاعات الصناعيه ينموا بوتيرة متسارعة في العقود الاخيره ، وأن الغايه الاساسية من استخدام الياف النفايات هي لأسباب بيئية بالدرجة الاساس ويهدف هذا البحث ايطاً إلى دراسة مدى قدرة هذه الالياف على تحسين الخواص الميكانيكية للخرسانة ذاتية الرص الحاوية لها وتقدير السلوك الإنساني للبلاطات الثنائية الاتجاه المعززة بالألياف المعادنة .

الهدف من البحث :

هدف البحث هو دراسة التصرف الانثنائي للبلاطات الخرسانية ذاتية الرص ثنائية الاتجاه المسلحة والمعززة بنوعين مختلفين من الألياف المعاد تدويرها من البولي أثيلين تريفالايت (Polyethylene) والعلب المعدينية للمشروبات الغازية (Aluminium cans) ، وبيان مدى تأثير اضافة نسب حجمية (V_f) مختلفة (0.1% ، 0.25% ، 0.4%) من هذه الألياف وبنسبة مزج (0% ، 50% و 100%) و (0% ، 50% و 100%) معدنية- بلاستيكية على التوالي لكل نوع من انواع الالياف المعادنة ، عن طريق فحص البلاطات الخرسانية تحت حمل نقطي ساكن وإيجاد الحمل الأقصى ومنحنى الحمل - الاود للبلاطات وحساب قيم المثانة لمعرفة كفاءة هذه البلاطات .

البرنامج العملي للبحث :

المواد :

استخدمت خلال هذا البحث مواد متوفرة محلياً ذات كفاءة عالية من حيث الأداء الوظيفي.

السمنت:

تم استخدام السمنت العراقي البورتلاندي الاعتيادي المحلي الصنع نوع كرستة (Cresta)، نتائج فحصه كانت مطابقة للمواصفة العراقية القياسية (IQS No.5/1984) [2]، والخواص الكيميائية والفيزيائية لهذا السمنت موضحة في الجدول رقم (1).

الركام الناعم :

تم إستخدام رمل نهري من منطقة سamerاء كركام ناعم بعد غربلته على منخل مقاس (4.75 mm)، إذ كان الرمل مطابقاً لمتطلبات المواصفة القياسية العراقية (IQS No.45/1984) [3]، وضمن منطقة التدرج الثالثة وله معامل نعومة (2.1) .

الركام الخشن :

استخدم في البحث ركام نهري مدور ذو مقاس أقصى (M.A.S) (12.5mm) من أحد مقالع الركام الطبيعي على نهر دجلة في منطقة سamerاء وهو مناسب لإستخدامه في الخرسانة ذاتية الرص ، وكان تدرج الركام الخشن مطابقاً للمواصفة العراقية (IQS No.45/1984) [3] .

ماء الخلط :

استخدم ماء الشرب الاعتيادي (Tap Water) في الأعمال الخرسانية للبحث الحالي، وتم استخدامه

Oxides composition	Content %	Limit of Iraqi specification No. 5/1984
CaO	60.45	-
Al ₂ O ₃	4.65	8% Max
SiO ₂	20.11	21% Max
Fe ₂ O ₃	3.62	5% Max
MgO	4.1	5 % Max
SO ₃	2.33	2.5 %Max
Loss on Ignition, (L.O.I)	2.72	4 %Max
Insoluble material	1.33	1.5 %Max
Lime Saturation Factor (L.S.F)	0.89	(0.66-1.02)
Physical properties	Test results	Limit of Iraqi specification No. 5/1984
Specific surface area (Blaine method), (m ² /kg)	308	(230 m ² /kg) lower limit
Setting time (vacate apparatus) Initial setting, (hrs : min) Final setting, (hrs : min)	2hrs : 15min 4hrs : 10min	Not less than 45min Not more than 10 hrs

في معالجة النماذج .

جدول (1) الخواص الكيميائية والفيزيائية للسمنت المستخدم في البحث

Compressive strength (kg/cm ²) For 3-day For 7-day	295 347	Not less than 150 kg/cm ² Not less than 230 kg/cm ²
--	------------	--

غبار السليكا:

استخدم في البحث غبار سليكا من نوع (Sika-fume-HR) والذي يعتبر كناتج عرضي من صناعة السيلكون، وهي مادة بوزو لانية فعالة جداً، وعندما تستخدم في الخرسانة تستخدم كمادة مالئة (filler) وكمادة اسمنتية ، إذ إن الدقائق الصغيرة من غبار السليكا تملأ الفجوات بين حبيبات السننة وبين السننة والركام ، وتنتقل مع هيدروكسيد الكالسيوم الناتج من عملية أماهة الاسمنت لتشكل سليكات كالسيوم اضافية خلال التفاعل وبالتالي تنتج خرسانة أكثف وأقوى وأقل نفاذية و تطابق هذه المادة المواصفة الاميركية [4](ASTMC1240-03).

الملنن الفائق :

تم استخدام المضاف المعروف باسم (Sika ViscoCrete-5930) والذي يعتبر ملنن مقلل للماء لدرجة فائقه ويستخدم حيث يراد زيادة مقاومة الانضغاط في الأعمار المبكرة والمتاخرة وهو ذو تأثير فعال لإنتاج خرسانة ذاتية الرص عالية الانسياب ذات قابلية تشغيل جيدة ، لا يحتوي هذا المضاف على الكلوريدات أو أي مركبات تساعد على تأكل حديد التسلیح وهو مطابق للمواصفة الاميركية [5] (ASTMC494-C494M/0) (Type F and G).

الألياف المعدة :

الياف البلاستيك المعدة :

تم استخدام ألياف البلاستيك المعد تدويرها من قناني المياه المعدنية والمشروبات الغازية المنتشرة في السوق المحلية في العراق والمسماة بولي إثيلين تريفتالات (Poly-ethylene terephthalate) ويرمز لها (PET) والتي تم نقطتها بذوبا بانتظام على شكل الياف بمعدل طول (25mm) ومعدل عرض (2mm) ومعدل سمك (0.2mm) ونسبة باعية (aspect ratio) تبلغ (12.5) وهي مبنية في الشكل رقم (1) ، والخصائص الفيزيائية والميكانيكية لهذه الألياف مبينة بالجدول رقم (2) [6].



الشكل (1) تحضير الياف البلاستيك المعد

جدول (2) الخصائص الفيزيائية والميكانيكية لألياف (Recycled.PET) [6]

Properties	Values
Density (kg/m ³)	1410
Tensile (Young's Modulus) MPa	1700
Water absorption,24 h (%)	0.5
Melting temperature Tm	538

Ultimate strain ϵ %	180
Flexural modulus (rigidity) E MPa (3-point -Flexure)	2000
Yield strain ϵ % (Tensile)	4
Breaking strength σ_B MPa (Tensile)	50

الياف الغلب المعدنية المعادة :

تم استخدام ألياف مستقيمة مقطعة بدولا من صفائح الألومنيوم (قاني المشروبات الغازية Cans ذات كثافة 2100 kg/m^3 ، والتي تم قطعها بمعدل طول (25) ملم ومعدل عرض(2mm) وبسمك (0.15mm) وبنسبة باعية مقدارها (12.5) ، وهي مبينة في الشكل رقم (2).



الشكل (2) تحضير الياف المعدنية المعادة

حديد التسليح :

تم استخدام حديد محرز أوكراني المنشأ بقطر(6mm) لتسليح البلاطات وكانت نتائج فحصه مطابقة للمواصفة الأمريكية (ASTM A615)[7] والمبياني الجدول رقم (3)، وسلطت باتجاهين بواقع 6 قضبان لكل إتجاه وبمسافات (95) ملم بين القضبان الحديدية وغطاء خرساني مقداره (12mm).

جدول (3) نتائج فحص حديد التسليح المستخدم

Bars diameters (mm)	Yield stress (f_y) (MPa)	Ultimate strength (f_u) (MPa)	Elongation%	Grade (MPa)
6	621.81	720.34	6.4	520

إنتاج الخرسانة ذاتية الرص : الخلطات التجريبية :

تم إعتماد المواصفة [8] EFNARC لتصميم الخلطات الخرسانية ذاتية الرص ، حيث تم انتاج (10) خلطات بتثبيت كمية المواد الاولية (السمنت ، الركام الخشن ، الركام الناعم) مع تغيير في نسبة (أبخرة السيليكا ، نسبة الماء/المواد الناعمة وكذلك الملنن الفائق) لبيان تأثيرها على تحقيق متطلبات الرص الذاتي من دون حدوث ظاهرة الانزعال ، وتم اختيار أفضل خلطة حققت متطلبات الرص الذاتي بواسطة إجراء (فحص أنسياب الهطول و زمن الوصول الى القطر 500mm) وفحص القمع V وفحص القمع V بعد 5 دقائق بالإضافة الى فحص الصندوق على شكل L (لكل الخلطات التجريبية والتي حققت أعلى مقاومة انضغاط بعمر 7 ايام وإعتمادها كخلطة مرجعية ، تفاصيل الخلطة ونتائج الفحوصات التي أجريت عليها مبينة في الجدول رقم (4) .

جدول (4) تفاصيل الخلطة المرجعية ونتائج الفحوصات التي أجريت عليها

Quantities of Reference Mix Ingredients (Kg/m^3)									
Filler (%)	SP (%)	w/cm Ratio	Powder		Water	F.A	C.A	$(\text{SP}) \text{ Kg/m}^3$	Density Kg/m^3
			Sika fume	Cement					
10	3.00	0.34	45	450	170	900	750	14.85	2329.85
Fresh properties & Compressive Strength of SCC									
Flow (mm)	Time flow 50cm (sec)	V Funnel (sec)	V Funnel-5min(sec)	L-Box	Compressive Strength (N/mm^2) at 7days				
730	4	8.55	11	0.977	42.5				

الخلطات الحاوية على الألياف المعادة :

تمت إضافة نسب حجمية (V_f) مختلفة (0.1% ، 0.25% ، 0.4%) من الألياف المعادة وبنسبة مزج (0% ، 50% ، 100%) و (0% ، 50% ، 100%) معدنية بلاستيكية على التوالي لكل نوع من أنواع الألياف المعادة ، مع زيادة نسبة الملن من (3%) إلى (4%) للتغلب على تأثير الألياف على قابلية التشغيل ، ثم تم إجراء فحوصات تحديد الخواص الطيرية للخرسانة ذاتية الرص حسب المواصفة الأوروبية EFNARC لكل خلطة من الخلطات الخرسانية .

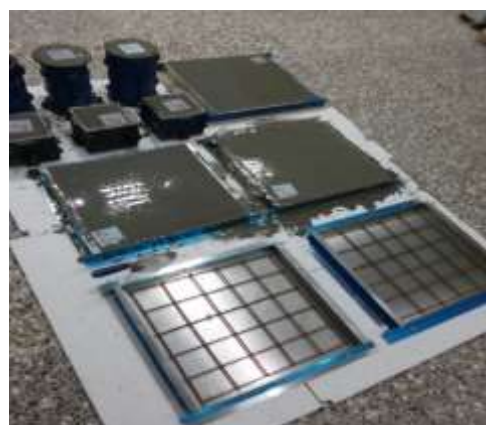
الصب والمعالجة :

استخدمت قوالب الألومنيوم بسمك (2 mm) سهلة الفتح والتركيب كما في الشكل رقم (3) لصب البلاطات جميعها بعد تنظيفها وتزيين أوجهها الداخلية لمنع التصاق الخرسانة وملنت القوالب بالخرسانة وبطبيعة واحدة بدون استخدام أي مصدر إهتزاز ، بعد صب النماذج وتسوية سطح الخرسانة تم تعطيلية النماذج بأكياس النايلون مباشرة لتجنب تبخّر الماء من سطح الخرسانة غير المتصلبة ولمنع حدوث الانكماش الللن (plastic shrinkage) وتركت مغطاة لمدة 48 ساعة ، بعدها نفتح القوالب وتوسيع

النماذج في الماء في أحواض المعالجة كما في الشكل (4) تمهدًا لفحصها بعد 28 يوما ، وفي الدراسة الحالية تم صب ثلاثة نماذج للبلاطات لكل نسبة من الألياف المعادة والخرسانة المرجعية بما مجموعه (30) بلاطة ، وثلاث مكعبات بأبعاد (150*150*150 mm) وثلاثة اسطوانات بقطر (150mm) وإرتفاع (300mm) لكل نوع من الخلطات الخرسانية .



الشكل (4) معالجة النماذج



الشكل (3) عملية تسليح و صب النماذج

فحوصات الخواص الميكانيكية للخرسانة المتصلبة :

فحص مقاومة الانضغاط :

تم أعتماد المعايير البريطانية (BS 1881: part 116:1989) [9] في إجراء فحص مقاومة الانضغاط لنماذج مكعبات الشكل بأبعاد (150*150*150) ملم ، إذ تم تحصيلها بإتجاه أحدى المحور بإستخدام ماكينة فحص كهربائية نوع (U-test) ذات سعة (2000 kN) وكما في الشكل رقم (5) ، وتم أعتماد معدل مقاومة الانضغاط لثلاث مكعبات لكل نوع من انواع الخلطات بعمر 28 يوم محسوبة من لحظة إضافة ماء الخلط إلى مكونات الخرسانة .



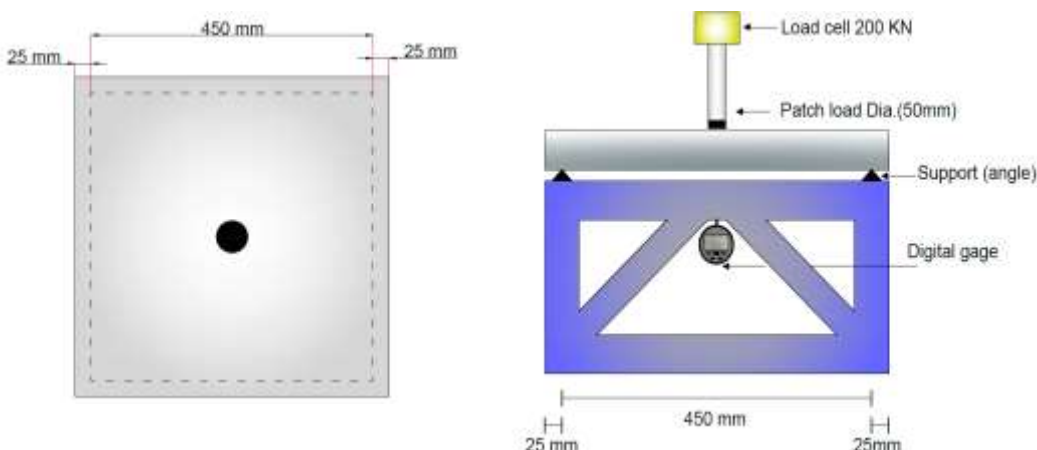
الشكل (5) جهاز فحص مقاومة الانضغاط ومقاومة شد الانشطار المستخدم بالبحث

فحص مقاومة شد الانشطار:

تم أعتماد المعايير الأمريكية (ASTMC496-96)[10] لفحص مقاومة شد الانشطار لنماذج اسطوانية من الخرسانة المتصلبة ذات ابعاد (300*150) ملم بعمر 28 يوم، بإستخدام ماكينة الفحص الكهربائية نوع (U-test) ذات سعة (2000 kN) ، وتم حساب مقاومة شد الانشطار كمعدلاً لثلاث نماذج لكل خلطة خرسانية .

فحص مقاومة الإنثناء

تم إجراء فحص مقاومة الإنثناء على بلاطات خرسانية ذاتية الرص ثنائية الاتجاه بأبعاد (50*500*500) mm ، أُسندت البلاطات إسناداً بسيطاً من جميع جهاتها بمسافة صافية بين المساند تبلغ (450 mm) وعرضت لحمل نقطي (patch load) بواسطة ماكينة الفحص (Flexural Testing Machine) سعة (200 kN) وبسرعة تحميل (1 kN/sec) والمبيّنة في الشكل رقم (6)، وتم إعتماد معدل نتائج ثلاثة بلاطات لكل خلطة من الخلطات التسعة الحاوية على نسب حجمية مختلفة من الألياف المعادة بالإضافة إلى الخلطة المرجعية لغرض المقارنة .



منظر علوي

منظر جانبي



الشكل (6) تفاصيل طريقة اسناد وتسليط الحمل للبلاطات بواسطة جهاز فحص الإنثاء.

النتائج والمناقشة :

الخصائص الطيرية للخرسانة ذاتية الرص :

أشارت نتائج الفحوصات الطيرية إلى إمكانية إنتاج خرسانة ذاتية الرص معززة بالياف المعدة ولحد نسبة حجمية (0.4%) من دون التأثير الكبير على قابلية التشغيل بسبب (المساحة السطحية والمرونة) العالية للألياف المعدة مقارنة بالألياف المصنعة ، وإن الخصائص الطيرية للخرسانة ذاتية الرص تقل قليلاً بزيادة النسبة الحجمية للألياف المعدة وإن تأثير الياف البلاستك (PET) والياف العلب المعدنية (Cans) لهما تأثير مقارب على خصائص الخرسانة ذاتية الرص الطيرية وهذه النتائج مطابقة لما توصل إليه الباحث [12].

مقاومة الانضغاط

تم اعتماد معدل مقاومة ثلاثة مكعبات قياسية بعمر 28 يوم لكافة الخلطات الحاوية على نسب مختلفة من الألياف المعدة ومن خلال النتائج المبنية في الجدول رقم (5) يتبيّن أن الخلطة الخرسانية (C-SCC1) الحاوية على الياف معدنية بنسبة (0.1%) سجلت أعلى مقاومة انضغاط من بين جميع الخلطات بزيادة (7.82%) مقارنة بالخلطة المرجعية (R-SCC) بينما تقل مقاومة الانضغاط كثيراً للخلطات الحاوية على الياف معدنية بنسـبـ (0.25% ، 0.4%) ، بسبب ضعـفـ هيـكلـ المركـبـ الخرسـانـيـ وـقـلـةـ كـثـافـتـهـ بـزـيـادـةـ نـسـبـةـ الـأـلـيـافـ لـوـجـوـدـ فـجـوـاتـ كـبـيرـةـ نـتـيـجـةـ تـكـونـ فـقاـعـاتـ هـوـائـيـ مـحـصـورـةـ تـحـتـ الـيـافـ الصـفـائـحـ الـمـعـدـنـيـةـ وـالـيـافـ تـسـتـقـرـ بـشـكـلـ اـفـقـيـ فـيـ الـخـلـطـةـ الـخـرـسـانـيـ بـسـبـبـ شـكـلـهـ المـقـوسـ وـعـرـضـهـ الـكـبـيرـ نـسـبـيـاـ مـقـارـنـةـ بـالـأـلـيـافـ الـمـصـنـعـةـ وـهـذـاـ يـوـثـرـ سـلـيـاـ عـلـىـ تـجـانـسـ الـوـسـطـ الـمـادـيـ لـلـمـرـكـبـ ،ـ أـمـاـ الـيـافـ الـبـلاـسـتـكـ الـمـعـدـةـ فـقـدـ حـسـنـتـ مـقـاـوـمـةـ الـانـضـغـاطـ قـلـيـاـ لـلـنـسـبـ الـحـجمـيـةـ (0.25% ، 0.1%) بـسـبـبـ تـجـسـيرـ الشـقـوقـ وـتـحـمـلـهـ لـلـإـجـهـادـاتـ الـمـتـولـدةـ فـيـ مـنـطـقـةـ الشـقـ بـالـإـضـافـةـ إـلـىـ مـقـاـوـمـتـهـ لـنـشـوـءـ الشـقـوقـ الـدـفـيقـةـ (micro crack) وـتـمـنـعـهـ مـنـ التـطـورـ إـلـىـ مـرـحلـةـ الشـقـوقـ الـكـبـيرـةـ (macro crack) .ـ بـالـنـسـبـةـ لـلـخـلـطـاتـ الـحـاوـيـةـ عـلـىـ نـسـبـ الـأـلـيـافـ الـهـجـينـةـ الـمـعـدـةـ فـقـدـ بـيـنـتـ النـتـائـجـ الـحـصـولـ عـلـىـ مـقـاـوـمـةـ اـنـضـغـاطـ أـعـلـىـ بـقـلـيـلـ مـنـ الـخـلـطـةـ الـمـرـجـعـةـ لـلـخـلـطـتـيـنـ (HY-SCC7, HY-SCC8)ـ الـحـاوـيـتـيـنـ عـلـىـ الـيـافـ هـجـينـةـ بـالـنـسـبـ الـحـجمـيـةـ (0.1% ، 0.25%)ـ عـلـىـ التـوـالـيـ وـإـنـخـفـاضـ فـيـ مـقـاـوـمـةـ اـنـضـغـاطـ الـخـلـطـةـ (HY-SCC9)ـ الـحـاوـيـةـ عـلـىـ الـيـافـ هـجـينـةـ بـنـسـبـ (0.4%)ـ وـيـمـكـنـ أـنـ نـسـتـنـتـجـ بـأـنـهـ يـمـكـنـ السـيـطـرـةـ عـلـىـ انـخـفـاضـ مـقـاـوـمـةـ اـنـضـغـاطـ الـحـادـ لـلـخـلـطـاتـ الـحـاوـيـةـ عـلـىـ الـيـافـ مـعـدـنـيـةـ بـإـضـافـةـ الـيـافـ الـبـلاـسـتـكـ الـتـيـ تـقـلـلـ

كثيراً الفجوات الهوائية وتجعل الخرسانة ذاتية الرص أكثر تجانساً وأكثر كثافةً والتي تمتنع بمرونة عالية مقارنة بالألياف المعدنية حيث تشتراك معها بمقاومة توسيع وإمتداد الشقوق.

مقاومة شد الانشطار

أشارت نتائج فحص شد الانشطار بعمر 28 يوماً لكافة الخلطات الخرسانية (والمبينة في الجدول رقم 5) بأن الياف النفايات المعدنة بأغلب النسب المضافة قد حسنت من مقاومة شد الانشطار للخرسانة ذاتية الرص وبنسبة متفاوتة ،حيث إزدادت مقاومة شد الانشطار للخلطات الحاوية على الألياف المعدنية بنسبة حجمية (0.1% ، 0.25% ، 16.82 ، 21.01) % على التوالي مقارنة بالخلطة المرجعية (R-SCC) بسبب إعادة نمو التشققات وزيادة وقوة التداخل والترابط بين الألياف المعدنية والمادة الرابطة مع ملاحظة إنشطار الاسطوانة إلى جزئين بسبب قلة محتوى الألياف و تبدأ مقاومة شد الانشطار بالانخفاض بزيادة نسبة الألياف حيث إنخفضت مقاومة شد الانشطار للخلطة (-C-SCC3) بنسبة (9.88)% بسبب ضعف هيكل المركب الخرساني الناشئ عن وجود فجوات هواء محصورة تحت الألياف مما يؤثر سلباً على تجانس الوسط المادي للمركب الخرساني ، وعلى العكس من ذلك فقد إزدادت مقاومة شد الإنشار مع زيادة محتوى الألياف وكانت أعلى زيادة في الخلطة الحاوية على الياف بلاستيك بنسبة (0.4%) بزيادة بلغت (46.43%) مقارنة بالخلطة المرجعية ، نفس السلوك قد تم ملاحظته في الخلطات الحاوية على الياف هجينه (معدنية - بلاستيكية) ويمكن تفسير هذه الزيادة إلى أن الياف البلاستيك تعمل على زيادة ترابط مكونات الخرسانة وتعمل بمبدأ مشابه لعملية التسلیح وتعمل كوسط ناقل للإجهادات في منطقة التشققات.

جدول (5) مقاومة الانضغاط ومقاومة شد الانشطار

#	Mix code	Fiber type	Vf (%)	Comp. - strength (28) day (f_{cu}) MPa	Splitting tensile strength (28) day (f_t) MPa
1	R-SCC	—	0	59.05	3.34
2	C-SCC1	100% Cans fibers	0.1	63.67	3.884
3	C-SCC2		0.25	53.46	4.042
4	C-SCC3		0.4	48.41	3.01
5	P-SCC4	100% PET fibers	0.1	60.42	4.5
6	P-SCC5		0.25	61.63	4.61
7	P-SCC6		0.4	57.11	4.891
8	HY-SCC7	50% Cans +50% PET	0.1	60.11	3.812
9	HY-SCC8		0.25	60.83	4.06
10	HY-SCC9		0.4	52.22	4.316

سلوك الانثناء للبلاطات الخرسانية ذاتية الرص ثانية الاتجاه المسلحة والعززة بالياف المعدنة :
إن الهدف الرئيسي من هذه الدراسة هو لتقدير سلوك الانثناء للبلاطات الخرسانية ذاتية الرص ثنائية الاتجاه المعززة بالياف البلاستيكية والمعدنية المعدنة ،جميع البلاطات لها نفس الابعاد والتسلیح، وتم تقييم نتائج الفحوصات إستناداً لمنحنى (الحمل-الأود) عند مركز البلاطة وتحديد الحمل الاقصى وحساب المطيلية والمتانة لمعرفة كفاءة التسلیح بالياف المعدنة .

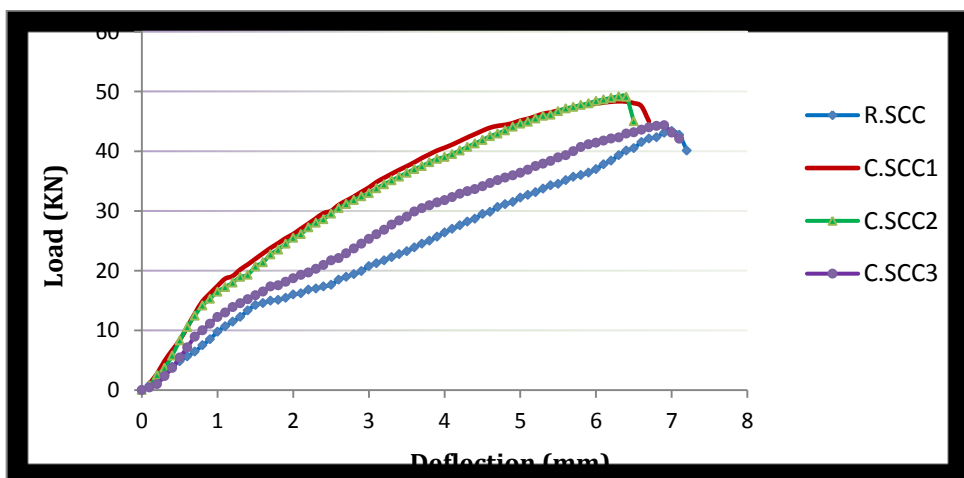
الحمل الأقصى للبلاطات

هنا سيتم توضيح تأثير الياف النفايات المعادة على مقدار أعلى حمل يمكن ان تتحمّله البلاطة قبل أن تفشل نهائياً، وذلك عن طريق تسليط حمل نقطي في مركز فضاء البلاطة إذ تم الحصول على قيم الحمل والأود من مقاييس رقمية دقيقة وخذن النتائج طول مدة الفحص، الاشكال (7) و(8) والجدول رقم (6) تبين النتائج التي تم الحصول عليها من فحص البلاطات تحت الحمل الساكن ، فعند بدأ تسليط الحمل تظهر التشققات الدقيقة اسفل البلاطة في منطقة الشد (tension zone) ابتداءً من المركز بإتجاه المسائد وبزيادة التحميل تصل قضبان حديد التسلیح الى مرحلة الخضوع والتي تتضح من خلال منحنیات الحمل - الاود في منتصف البلاطة الخرسانية ، فتنتسع التشققات ويزداد عمقها لتصل الى منطقة الانضغاط فيحدث الفشل النهائي عند الحمل الأقصى ، وقد تم الحصول على أعلى حمل أقصى في البلاطات الحاوية على الياف بلاستيكية بنسبة (0.25%) و الياف هجينه بنسبة (0.4%) وهذه الزيادة يمكن أن تعزى الى التحسن الكبير في مقاومة الشد للخرسانة الحاوية على هذه الالياف مع زيادة نسبة الحجمية للألياف وإن زيادة النسبة الحجمية من الالياف في الخليطة تؤدي الى زيادة قوة الترابط للمادة الرابطة في الخرسانة ، ويؤدي هذا إلى عرقلة انتشار الشقوق في كلة المركب إضافةً الى قابلية هذه الالياف العالية على الانفعال أكثر من الخرسانة فأنها ستزيد من الحمل الأقصى لمقاومة الإنثناء، بينما كانت الزيادة قليلة في الحمل الأقصى للبلاطات الحاوية على الياف معدنية .

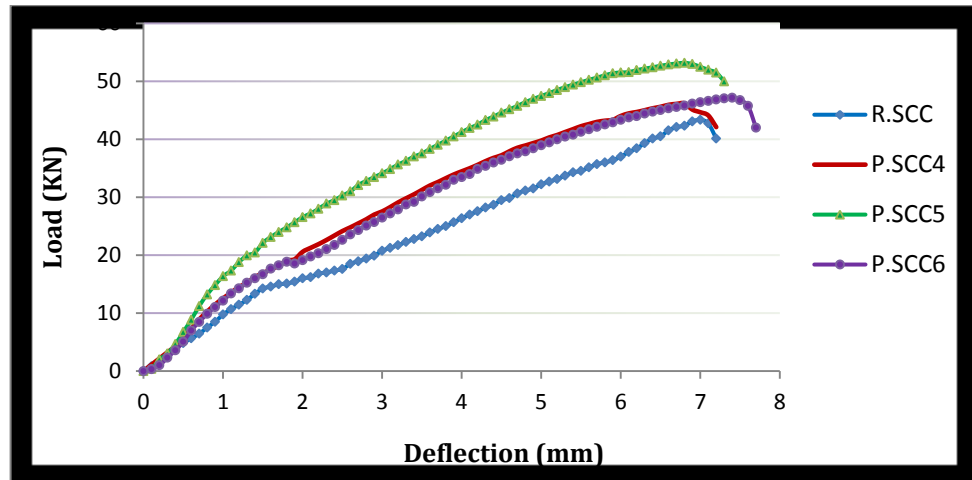
المثانة :

المثانة هي الطاقة اللازمة لكسر النموذج حسب المواصفة القياسية الأمريكية [ASTMC1018][11] وتكافئ قيمتها قيمة المساحة تحت منحنى الحمل-الأود تحت الأحمال الساكنة إلى حد معين من الأود، وعلى هذا الأساس فهناك مثانة إلى حد الشق الأول (δ_{cr}) (وتسمى أيضاً الرجوعية) ، ومتانة إلى حد الخضوع ومتانة إلى حد الفشل وهو مؤشر لقابلية المادة أو العنصر الإنساني على إمتصاص الطاقة، وبالتالي هو أيضاً مؤشر على مقاومة المنشآت للزلزال والأحمال الديناميكية . وتزداد المثانة بزيادة النسبة الحجمية للألياف البلاستيكية والهجينة حيث سجلت أعلى متانة للبلاطات عند النسبة (0.4%)، بينما تقل المثانة بالمقارنة عند زيادة نسبة الالياف المعدنية بسبب تكون فجوات في الهيكل الخرساني والذي تسببه الياف العلب المعدنية المعادة ، إضافةً الى حدوث انكسار وليس سحب لبعض الالياف من المركب الخرساني .

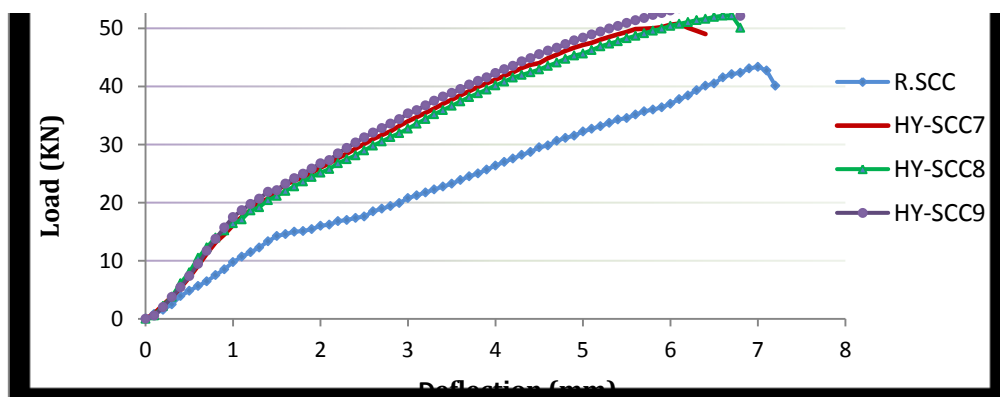
الجدول (6) يبيّن قيم المثانة (Toughness) في البلاطات الحاوية على الالياف المعادة والبلاطات المرجعية .



الشكل (7) علاقة الحمل مع الأود في منتصف البلاطات الخرسانية المسلحة بالياف العلب المعدنية مقارنة بالبلاطة المرجعية.



الشكل (8) علاقة الحمل مع الأود في منتصف البلاطات الخرسانية المسلحة بالياف البلاستيك المعد مقارنةً بالبلاطة المرجعية.



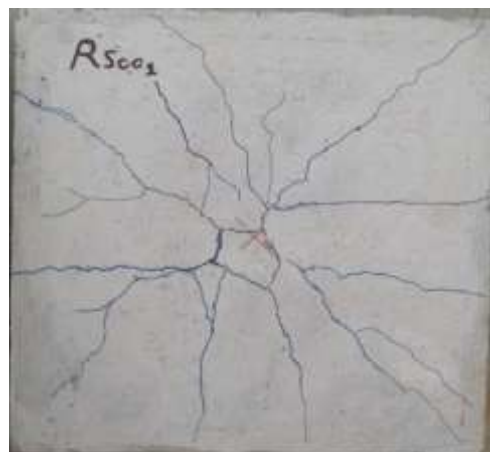
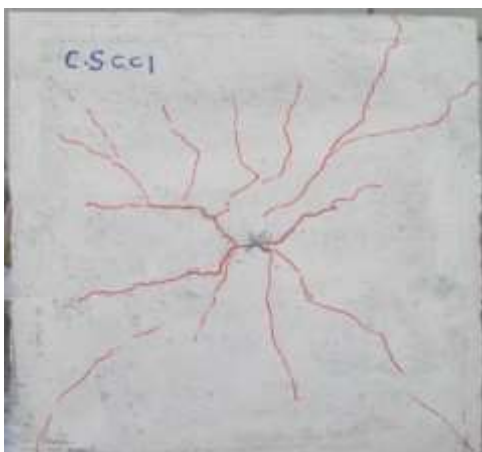
الشكل (9) علاقه الحمل مع الأود في منتصف البلاطات الخرسانية المسلحة بالياف الھجينه مقارنةً بالبلاطة المرجعية

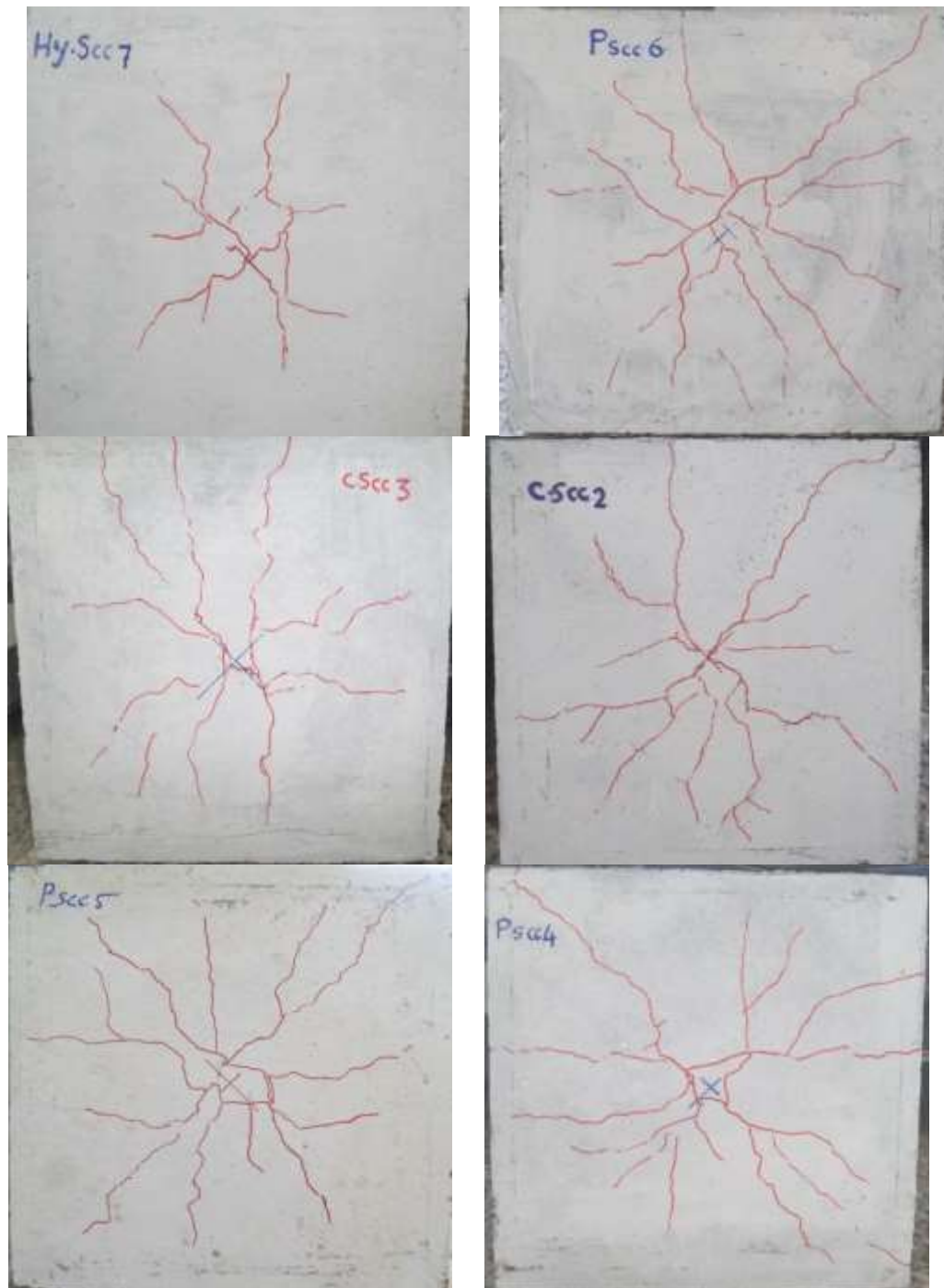
جدول (6) قيم الحمل الاقصى والمتانة للبلاطات الخرسانية

#	Slab Type.	V _f	Load at First crack (kN)	Average Failure Load (kN)	First crack toughness (kN.mm)	Ultimate toughness (kN.mm)
1	R-SCC	0.0 %	14.25	43.37	10.626	163.684
2	C-SCC1	0.1 %	18.65	48.36	11.116	232.862
3	C-SCC2	0.25 %	19.3	49.17	15.207	204.922
4	C-SCC3	0.4 %	17.35	44.35	15.785	175.880
5	P-SCC4	0.1 %	19.07	46.21	18.756	193.008
6	P-SCC5	0.25 %	20.45	53.2	14.818	234.781
7	P-SCC6	0.4 %	18.86	47.17	17.945	267.460
8	HY-SCC7	0.1 %	20.66	50.81	15.096	195.359
9	HY-SCC8	0.25 %	19.2	52.24	13.395	208.927
10	HY-SCC9	0.4 %	21.86	54.68	15.557	223.751

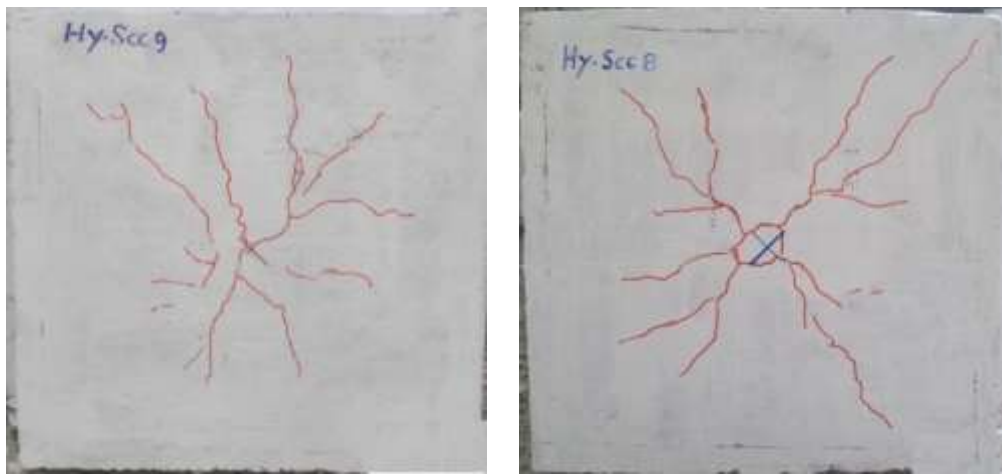
أطوار الفشل :

نوع الفشل في البلاطات الخرسانية المسلحة بالياف المعاوقة هو فشل انتفاض (فشل شد في أسفل البلاطة نتيجة انتفاضها)، يحصل نتيجة خضوع حديد التسليح بليه سحق الخرسانة في منطقة الانضغاط ، عموماً للبلاطات جميعها في مجاميع الدراسة الحالية يلاحظ انه في المراحل المبكرة من التحميل تبدأ التشققات الأولية بالنمو في مركز البلاطة من المركز وبزيادة التحميل تدريجياً ومع الوقت تبدأ التشققات بالانتشار عشوائياً باتجاه الحافات وتكون أكثر إتساعاً ، وإن التشققات تظهر نتيجة لتجاوز الإجهادات قيمة مقاومة الخرسانة للشق لأن الخرسانة وكما هو معروف ضعيفة في مقاومة الشد ، أما الياف المعاوقة فقد ساهمت في تقليل عدد الشقوق وحدّت من استمراريتها وساعدت على عدم تحويل التشققات الدقيقة إلى تشققات رئيسية ، وكما مبين في الشكل (10-a) و (10-b).





الشكل (10-a) : أنماط الفشل في البلاطات الخرسانية المعززة بالياف النفايات الهجينه



الشكل (10-b) : أنماط الفشل في البلاطات الخرسانية المعززة بالياف النفايات الهجينه.

الاستنتاجات:

- من خلال الفحوصات المختبرية للخرسانة ذاتية الرص المسلحة بالياف النفايات المعداد تدويرها ، وإستناداً إلى النتائج التي تم الحصول عليها تم التوصل إلى الاستنتاجات الآتية :
- 1- إن إضافة الياف البلاستيك المعدادة والياف هجينه بالنسبة الحجمية (0.1% و 0.25%) أدت إلى زيادة طفيفة بمقاومة الانضغاط للمكعبات الخرسانية ، بينما انخفضت مقاومة الانضغاط بالنسبة الحجمية (0.4%) مقارنة بالخرسانة المرجعية ، وقد وجد أن إضافة (0.1%) من الياف المعدنية المعدادة أعطت أعلى زيادة في مقاومة الانضغاط بنسبة (7.82%) مقابل انخفاض كبير في مقاومة الانضغاط بالنسبة الحجمية (0.4% ، 0.25%) من الياف المعدنية مقارنة بالخرسانة المرجعية .
 - 2- إن إضافة الياف البلاستيك المعدادة بالنسبة الحجمية (0.1% و 0.25% و 0.4%) قد زاد من مقاومة شد الانشطار كثيراً وبالنسبة (46.43 ، 38.02 ، 34.73) % على التوالي مقارنة بالخرسانة المرجعية ، وبسبب زيادة أقل بالنسبة للياف الهجينه ، كما تحسنت مقاومة شد الانشطار للخلطات الحاوية على الياف معدنية بالنسبة الحجمية (0.1% و 0.25%) وتتحفظ قليلاً للخلطة ذات المحتوى الجمي (0.4%) لنفس الخلطة .
 - 3- بيّنت النتائج أن إضافة الألياف المعددة لها تأثير إيجابي على مقدار الحمل الأقصى للبلاطات وتحسين سلوكها تحت الانثناء ، يزداد الحمل الأقصى لمقاومة الانثناء في البلاطات الخرسانية المسلحة المعززة بالياف الهجينه المعددة بزيادة النسبة الحجمية للألياف وكانت أعلى نسبة زيادةً بالمقارنة مع البلاطة الخالية من الألياف هي (26.07%) عند النسبة الحجمية (0.4%) من الألياف الهجينه المعددة وتحدد هذه الزيادة التدريجية في المرحلة التي تلي الخضوع بسبب مقاومة اجهادات الشد المتولدة في الشقوق ، أما الألياف البلاستيكية والمعدنية فقد زاد الحمل الأقصى للنسبة الحجمية (0.25% و 0.1%) ثم تقل الزيادة بزيادة النسبة الحجمية .
 - 4- الألياف المعدنية والبلاستيكية المعددة المستخدمة في هذه الدراسة تفشل بالإنسحاب من الشقوق تحت تأثير قوى الشد (عدا النسبة 0.1% من الألياف المعدنية إذ تم ملاحظة حصول فشل إنكسار لبعض الألياف) وهذا يتطلب طاقة إضافية ، لذلك فقد تحسنت المثانة الكلية لحد الفشل للبلاطات المعززة بالياف البلاستيكية والهجينه المعددة بزيادة النسبة الحجمية ، بينما تقل الزيادة في المثانة مع زيادة المحتوى الجمي للياف المعدنية المعددة .

المصادر:

- [1] Kaiping, Liu ;Hewei, Cheng and Jing.en, Zhou , "Investigation of brucite-fiber-reinforced concrete", Cement and Concrete Research Journal , 2004, Vol. 34, pp. 1981-1986. Available on line at www.sciencedirect.com
- [2] المواصفة القياسية العراقية رقم (5)، "السمنت البورتلاندي"، الجهاز المركزي للتقييس والسيطرة النوعية، بغداد، 1984.
- [3] المواصفة القياسية العراقية رقم (45)، "ركام المصادر الطبيعية المستخدم في الخرسانة والبناء"، الجهاز المركزي للتقييس والسيطرة النوعية، بغداد، 1984.
- [4] ASTM C1240-03, "Standard Specification for Use of Silica Fume as a Mineral Admixture in Hydraulic-Cement Concrete, Mortar, and Grout".
- [5] ASTM C494/C494M, " Standard Specification for Chemical Admixtures for Concrete1", Annual Book of ASTM Standards, 2004, Vol. 04.02, pp. 1–8 .
- [6] Abdulkader Ismail Al-Hadithi, Ahmed Tareq Al . Ejbari, Ghassan S. Jameel,"Behaviour of Waste Plastic Fiber Concrete Slabs Under Low Velocity Impact", Iraqi Journal of civil engineering,2013, Vol. 9(1), pp. 135-148.
- [7] ASTM A615/A615M -09,"Standard Specification for Deformed and Plain Carbon-Steel Bars for Concrete Reinforcement".
- [8] EFNARC, "Specification and Guidelines for Self-Compacting Concrete",London, UK: Association House, February 2002, pp. 32.
- [9] BS 1881, Part 116, "Method for Determination of Compressive Strength of Concrete Cubes", British Standards Institution, 1989, PP. 3.
- [10] ASTM C 496 – 96 "Standard Test Method for Splitting Tensile Strength of Cylindrical Concrete Specimens"
- [11] ASTM C1018, (Re-approved 2003), "Standard Test Method for Flexural Toughness and First-Crack Strength of Fiber-Reinforced Concrete", Annual Book of ASTM Standards, 2004, Vol. 04.02; pp.1–8.
- [12] Sholihin AS'AD ,Purnawan Gunawan ,M.syarif Alaydrus , "Fresh State Behavior of Self Compacting Concrete Containing Waste Material Fibres",Procedia Engineering ,2011, Vol.14, pp.797–804.